

大阪大学工学部 正員 奈良 敬
大阪大学工学部 正員 小松 定夫

[1] まえがき 面内曲げ圧縮応力を受ける補剛板の極限強度に関する研究は從来より見受けられるが、残留応力や初期たわみを十分に考慮したもののは少ない。筆者らは、これら両初期不整を同時に考慮し、面内曲げ圧縮応力を受ける補剛板の極限強度について研究を進めてきたが、¹⁾ 極限強度の相関曲線について考察したので報告する。

[2] 解析法 Hybrid displacement model に基づく有限要素法²⁾により定式化された弾塑性有限変位解析法を拡張している。本解析法は von Mises の降伏条件よりびに Prandtl-Reuss の塑性流れ則に基づく完全弾塑性材料を対象としている。

[3] 解析モデル 吊橋や斜張橋の主塔を対象として実橋断面調査を実施し、その結果を解析モデルの寸法諸元に反映させている。初期たわみは道路橋示方書の許容値とした。すなわち、縦補剛材は $\theta/1000$ 、板パネルは $\theta/150$ とした。残留応力については、文献³⁾に基づいた。補剛板の境界条件は周辺単純支持とする。載荷方法については、図-1に示すように、載荷辺に曲げ剛性無限大的剛棒を取り付け、応力勾配 $\psi < 2$ の場合に不偏心圧縮変位、 $\psi = 2$ の場合には剛棒の中心に回転変位を与える変位増分法を用いた。

[4] 極限強度特性 用いたパラメータは表-1の通りである。(1)たわみ波形 図-1に示す中央断面について、極限状態におけるたわみ波形の一例として、 $a/b=3$, $\tau_e/\tau_e^*=5$ の場合を図-2に示す。

応力勾配によるたわみ波形の相違が顯著である。

(2) 縁ひずみ-応力曲線 縁ひずみ ϵ_y と、図-1に示す圧縮側の端部板パネルの中央断面 A 点における表面の垂直応力 σ_y との関係を図-3に示す。表側と裏側の応力差で表わされる面外曲げ応力はやがて少しき程大きいことが認められる。特に、 $R=1.0$ の場合、 ψ による面外曲げ応力の相違が著しい。この結果、座屈係数を考慮した等しい R をもつ補剛板でも、 ψ の値により大きく極限強度が変化するものと思われる。

(3) 極限強度曲線 ψ と R をパラメータとした極限状態における最大縁ひずみを図-4に示す。縦軸は最大縁ひずみ $\epsilon_{y,max}$ を降伏ひずみ ϵ_y で無次元化した値を示す。 $R \frac{W}{t}$ の値に拘わらず、 $\epsilon_{y,max}/\epsilon_y$ は ψ によく大きく異なり、 ψ が大きくなるにつれて高くなる。 $a/b=3$ の場合、 τ_e/τ_e^* を 1 らから 5 に大きくすると、① $R \geq 0.7$ かつ $\psi \leq 1.0$ の領域で効果的、② $R=0.5$ または $\psi=2$ では極限強度の上昇が望めばよいことがわかる。また、 $a/b=3$ と $a/b=6$ の場合

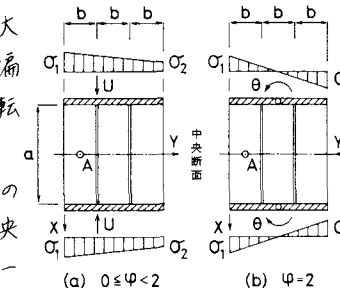


表-1 パラメータ

偏厚比パラメータ:	$R = \frac{b}{t} \sqrt{\frac{\sigma_y}{E} \frac{12(1-\nu^2)}{\pi^2 k}}$
ただし、	$\begin{cases} 8.4/(\psi+1.1), & 0 \leq \psi \leq 1 \\ 10\psi^2 - 6.27\psi + 7.63, & 1 \leq \psi < 0 \end{cases}$
無補剛板の	応力比 $\psi = 1 - \varphi / (n_x + 1)$
弾性座屈係数	応力勾配 $\varphi = (\sigma_1 - \sigma_2) / \sigma_1$
・総補剛材本数: n_x	・板パネルの横幅比: a/b
・板パネルの厚さ比: τ_e/τ_e^*	・総補剛材の厚さ比: τ_y/τ_y^*
ただし、 τ_y^* は圧縮補剛板の最小厚さ	

図-1 載荷方法

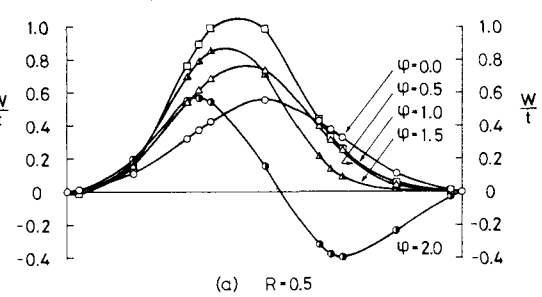
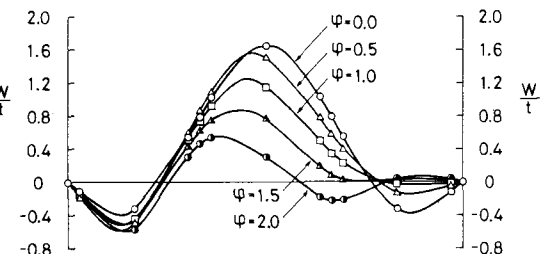
(a) $R=0.5$ (b) $R=1.0$

図-2 極限状態におけるたわみ波形

を比較すると、 ψ の値によると、 $2\varepsilon_{l,\max}/\varepsilon_y$ の値に差異が生じる。以上のように、座屈係数を考慮した幅厚比パラメータ R と等しくしても、応力勾配 ψ により極限強度が大きく異なることは注意を要する。

(4) 相関曲線 極限強度の相関曲線の一例を図-5に示す。縦軸は極限平均圧縮応力 $\sigma_{c,u}$ を純圧縮力作用時の極限平均圧縮応力 $(\sigma_{c,u})_{\psi=0}$ で無次元化した値、横軸は限界初等曲げ応力 $\sigma_{b,u}$ を純曲げ作用時の限界初等曲げ応力 $(\sigma_{b,u})_{\psi=2}$ で無次元化した値である。これらの諸量は次式で定義される。 $(B:$ 補剛板全幅, $t:$ 補剛板厚)

$$\sigma_{c,u} = \frac{1}{Bt} \left\{ \int_0^B \int_{-t/2}^{t/2} \sigma_x dz dy \right\}_u$$

$$\sigma_{b,u} = \frac{6}{B^2 t} \left\{ \int_0^B \int_{-t/2}^{t/2} \sigma_x \left(\frac{B}{2} - y \right) dz dy \right\}_u$$

$(\sigma_{c,u})_{\psi=0}$ および $(\sigma_{b,u})_{\psi=2}$ は次式のようになる
パラメータの関数として
表わされる。

$$(\sigma_{c,u})_{\psi=0}/\sigma_y = f(R, \alpha_b, n_e, r_e/r_e^*)$$

$$(\sigma_{b,u})_{\psi=2}/\sigma_y = g(R, \alpha_b, n_e, r_e/r_e^*)$$

また、図中の破線は道路橋示方書に基づく許容応力曲線、一点鎖線は極限強度を安全率 $\nu = 1.7$ で除した許容応

力曲線を表す。記号 σ_{ca}, σ_{ea} はそれぞれ許容圧縮応力および許容曲げ応力を示す。 R および ψ の大きさは領域ごとに示す。図-6には、 $\frac{\sigma_{c,u}}{(\sigma_{c,u})_{\psi=0}}$ と R との他に、 a/b や r_e/r_e^* を変化させて極限強度をプロットした結果を示す。パラメータが数多くあるので、現段階では断言できないが、シングルに極限強度表示による相関曲線を用いると、ほぼ同一曲線を表現できる傾向を示している。図中の実線は、プロットしたデータを用いて最小自乗法により求めた相関式を表す。

あとがき 美橋断面調査結果に基づく寸法諸元の一部の範囲で数値計算を行は、といよいのう、さらに広範囲における解析を実施する予定である。

参考文献 1) 小松・奈良:昭和59年度関西支部年次学術講演会, I-48, 1984. 2) F.Kikuchi and Y.Ando, Journal of the Faculty of Engineering, The University of Tokyo (B), Vol.31, No.1, 1973. 3) 小松・半尾・北田:工芸学会論文報告集, 第265号, 1977.

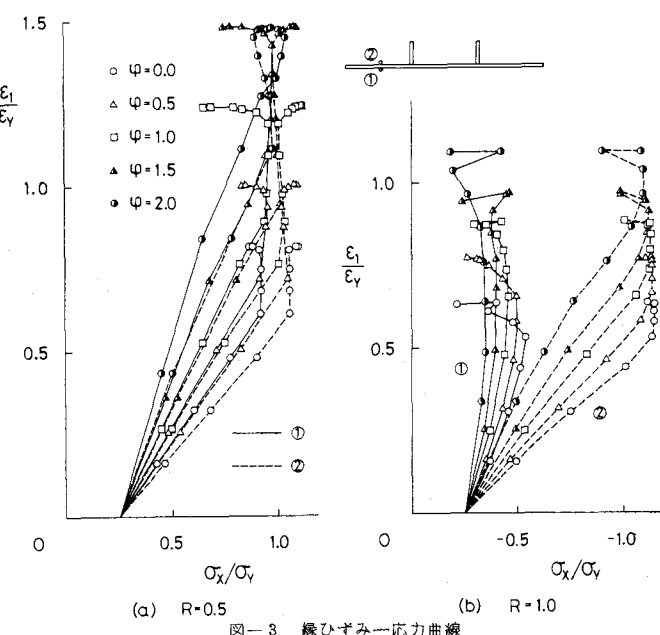


図-3 縁ひずみ一応力曲線

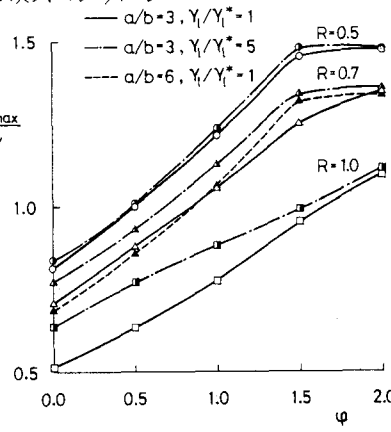


図-4 極限強度曲線

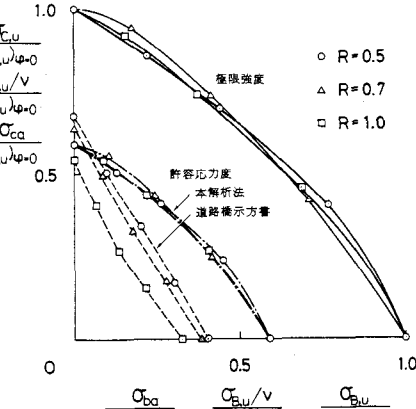


図-5 極限強度の相関曲線

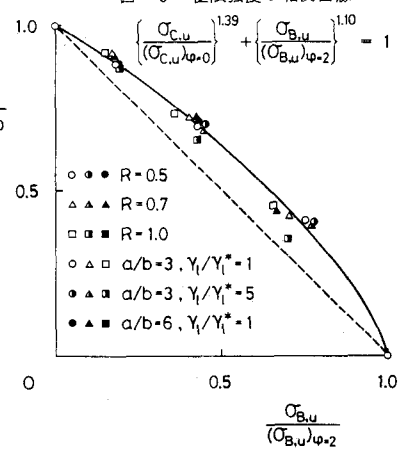


図-6 極限強度の相関式